

# TESI

presentada a

LA UNIVERSITAT DE BARCELONA

per obtenir el grau de:

Doctor en Ciències Físiques

per:

Antoni Isalgué i Buxeda

ESTUDI D'ALGUNES FERRITES HEXAGONALS UNIAXIALS.

Capitol 1.-

Les Ferrites Hexagonals

### 1.1.- Introducció

Les ferrites hexagonals formen una gran família d'oxids, amb l'estructura basicament constituida per apilaments compactes d'anions oxigen, alguns d'ells substituïts per cations de dimensions comparables, com  $\text{Ba}^{2+}$ ,  $\text{Sr}^{2+}$ ,  $\text{Pb}^{2+}$ ,  $\text{La}^{3+}$ , etc. (1).

Aquests apilaments, de capes  $\text{O}_4$  o  $\text{MeO}_3$ , poden ser de tipus hexagonal compacte (ABABAB...) o de tipus cúbic compacte (ABCABC...).

En els llocs existents entre aquesta carcasa estructural es posen els cations  $\text{Fe}^{3+}$ .

En principi poden obtenir-se famílies d'oxids isomorfos a les ferrites hexagonals substituint  $\text{Fe}^{3+}$  per altres cations, com ara  $\text{Ga}^{3+}$ ,  $\text{Al}^{3+}$ ,  $\text{Cr}^{3+}$ ,  $\text{In}^{3+}$ ,  $\text{Sc}^{3+}$ , etc, o fins i tot parells com  $\text{Ti}^{4+}$ - $\text{Co}^{2+}$ , resultant-ne un gran nombre de productes amb les propietats mes diverses. Naturalment, amb algunes cations

Taula 1: Cations de dimensions comparables amb el  $O^{2-}$  (2)

| Io            | Radi iònic (Å) |
|---------------|----------------|
| $O^{2-}$      | 1.42           |
| $Ba^{2+}$     | 1.42           |
| $Pb^{2+}$     | 1.29           |
| $Sr^{2+}$     | 1.25           |
| $La^{3+}$     | 1.18           |
| $Ca^{2+}$ (a) | 1.12           |
| $Pr^{3+}$ (a) | 1.14           |
| $Nd^{3+}$ (a) | 1.12           |
| $Sm^{3+}$ (a) | 1.09           |
| $Eu^{3+}$ (a) | 1.07           |
| $K^{1+}$ (a)  | 1.51           |
| $Na^{1+}$ (a) | 1.16           |

Els cations (a) només entren a formar part de les estructures de les ferrites hexagonals parcialment; tot i això, és possible que entri'm completament a l'estruatura quan en lloc de Fe hi tenim altres cations de dimensions diferents, i així existeix, per exemple, isomorf a  $BaFe_{12}O_{19}$ , el  $CaAl_{12}O_{19}$  (3).

es possible substituir tot el Fe, mentre que amb altres, no.

Com a característica estructural, mentre que el valor del paràmetre  $a$  de la xarxa cristal·lina hexagonal resta essencialment determinat per les dimensions dels anions, amb una feble influència dels cations, resultant-ne un valor d'uns 5.9 Å per totes les estructures, el valor del paràmetre  $c$  depen essencialment del nombre de capes de l'estructura.

Com sigui que la distància entre dues capes d'oxigens es de 2.3 Å, a partir de la mesura dels paràmetres de xarxa de qualsevol compost, pot deduir-se facilment el nombre de capes contingudes a la cel·la unitat.

L'ocupació per part dels cations metàl·lics dels intersticis existents entre les anions i els cations de dimensions comparables amb les dels anions es troba sotmesa a una sèrie de regles empíriques, deduïdes de l'observació d'estructures conegudes, que son de gran ajuda en l'estudi i resolució de no-

ves estructures:

1-Entre dues capes d'oxigens (O<sub>4</sub>), es poden ocupar tres llocs octaèdrics, o bé un lloc octaèdric i dos tetraèdrics. En general s'alternen les dues possibilitats, com a l'estructura espinel·la.

2-Entre dues capes que poseixin unió M<sub>2</sub>(2+) i tres oxigens (M<sub>2</sub>O<sub>3</sub>), només hi ha una cavitat octaèdrica que pugui restar ocupada; és la situació, per exemple, del titanat de bari hexagonal.

3-Entre una capa M<sub>2</sub>O<sub>3</sub> i una d'oxigens, O<sub>4</sub>, una cavitat octaèdrica i una de tetraèdrica poden ésser ocupades alhora.

## 1.2.- Blocs estructurals

Les estructures de les ferrites hexagonals, aparentment molt complexes, poden ésser descrites de forma senzilla a partir de considerar-les formades per apilaments segons l'eix hexagonal c d'uns blocs estructurals bàsics. Aquests són els blocs R, S, T, Q i HBT.

Els blocs R, S i T són considerats per primera vegada per Braun, dels laboratoris Philips (4). Recentment, Cadee et al. (5) han observat el bloc Q, en combinació amb el S . Finalment, també fa poc que s'ha observat a les ferrites hexagonals la presència del bloc HBT, en combinació amb altres blocs.

Describim a continuació els blocs que són més importants pel nostre treball.

### I.2.1.- El bloc S

El bloc S no és més que un element de l'estructura espacial pres en la direcció (111) de la xarxa cúbica convencional. Conté dues capes d'oxigen, que amb les primeres capes dels blocs que hi limiten forma un apilament cúbic compacte.

Aquest element estructural pot ésser descrit en el sistema hexagonal amb una xarxa que tingui en el pla de base 4 anions oxigen. En aquesta xarxa, entre cada parell de capes d'anions hi ha alternativament dos tetràedres més un octàedre i tres octàedres, d'acord amb la regla I anterior.

Els límits del bloc estan en els plànols mediadors entre dues capes d'oxígens separades per tres octàedres ocupats.

La fórmula química del bloc és  $(Fe_6 O_8)^{2\pm}$ , i la composició simbòlica es pot representar com:

3/2

octaèdres (frontière)

Cara 04

2 tétraèdres

1 octaèdre

Cara 04

3/2

octaèdres (frontière)

### 1.2.2.- El bloc R

El bloc R està format per un apilament hexagonal compacte de tres capes; la capa central, de composició  $\text{MeO}_3$  es un pla mirall.

Les posicions catiòniques ocupables, segons les regles 1 i 3 anteriors, són un octàedre i un tetràedre a cada costat del pla mirall, i dues vegades tres octàedres en els límits del bloc.

Els octàedres i tetràedres del costat del pla mirall comparteixen cares (octàedre amb octàedre i tetràedre amb tetràedre). Com a resultat d'això, els octàedres estan deformats per la repulsió electrostàtica entre les cations que contenen, i els dos tetràedres pasen a constituir un sol lloc bipiramidal pseudotetraèdric, per simples raons electrostàtiques.

La fórmula química del bloc és, per tant,  $(\text{Me Fe}_6 \text{ O}_{11})^{2-}$ , i la composició simbòlica:

3/2            octaèdres - (frontière)

Cara 04

1 tétraèdre 1 octaèdre

Cara Me03 (vle mirall)

1 tétraèdre 1 octaèdre

Cara 04

3/2            octaèdres - (frontière)

### 1.2.3.- El bloc T

El bloc T conté 4 capes amb apilament hexagonal; les dues internes son de  $Mg_3$ , i les externes de  $0_4$ .

Entre les capes  $Mg_3$  només hi ha una cavitat octaèdrica ocupada (regla 2); entre  $Mg_3$  i  $0_4$  hi ha un octàedre i un tetràedre (regla 3), i en el límit del bloc hi ha tres octàedres compartits amb el bloc següent. Això fa un total de 8 ions Fe per bloc T.

Com a característiques més importants, hi ha aquí una cadena segons l'eix c de tres octàedres units per les cares, i ara, els dos tetràedres estan ocupats, i es troben directament per sobre o per sota d'un políedre amb catió  $Mg$ , a diferència del que teniem en el bloc R.

Esquemàticament, el bloc, de fórmula :  
 $(Mg_2 Fe_8 O_{14})^0$ , és:

3/2      octaèdres (frontière)

Capa 04

1 octaèdre      1 tétraèdre

Capa Me03

1      octaèdre

Capa Me03

1 octaèdre      1 tétraèdre

Capa 04

3/2      octaèdres (frontière)

### 1.3.- Tipus estructurals de les ferrites:

#### hexagonals

Els principals tipus estructurals o associacions de blocs que arriben a constituir una fase identifiable, coneguts actualment en l'estudi dels diagrames de fase  $\text{MeO} - \text{Fe}_2\text{O}_3 - \text{Me}'\text{O}$ ;  $\text{MeO} - \text{La}_2\text{O}_3 - \text{Fe}_2\text{O}_3$ ;  $\text{MeO} - \text{Fe}_2\text{O}_3 - \text{M}_2\text{O}_2$  ( $\text{Me}' = \text{Zn}^{2+}, \text{Co}^{2+}, \text{Ni}^{2+}, \text{Mn}^{2+}, \text{Mg}^{2+}, \text{Cu}^{2+}, \text{Cd}^{2+}, \text{Fe}^{2+}; \text{M}_2 = \text{Ti}^{4+}, \text{Sn}^{4+}$ ) es troben recollits a la taula 2, pel cas  $\text{Me} = \text{Ba}^{2+}$ , junt amb el símbol utilitzat normalment per cada estructura, els blocs que la componen, el grup espacial al qual pertanyen, i el nombre de capes per cel.la unitat (x indica una rotació de 180° entorn de l'eix c; quan la composició es troba senyalada amb un 3, amb simetria romboèdrica ( $R\bar{3}m$ ), la cel.la unitat conté tres grups girats de 120° entre si.

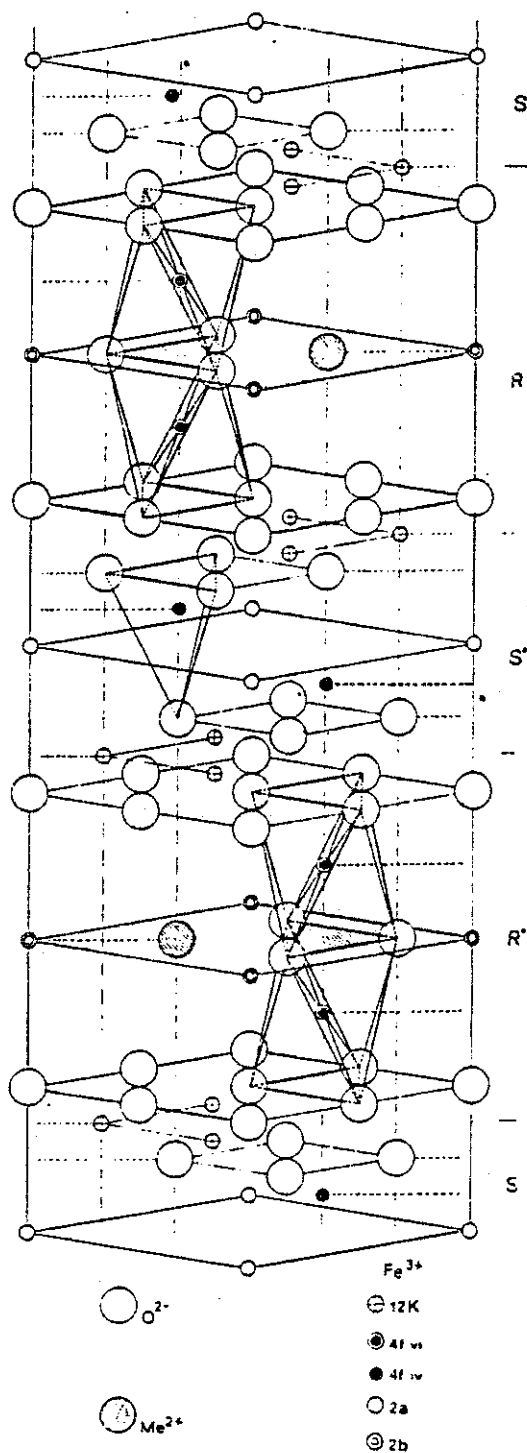
Les estructures més importants, M, W, Y i Z, es troben representades a les figures següents, i en els fulls següents es troben les posicions catiò-

TAULA 2  
COMPOSICIÓ      SÍMBOLE      BLOCS ESTRUCTURALS      GRUP ESP.      CAPESES/X.U.      REF.

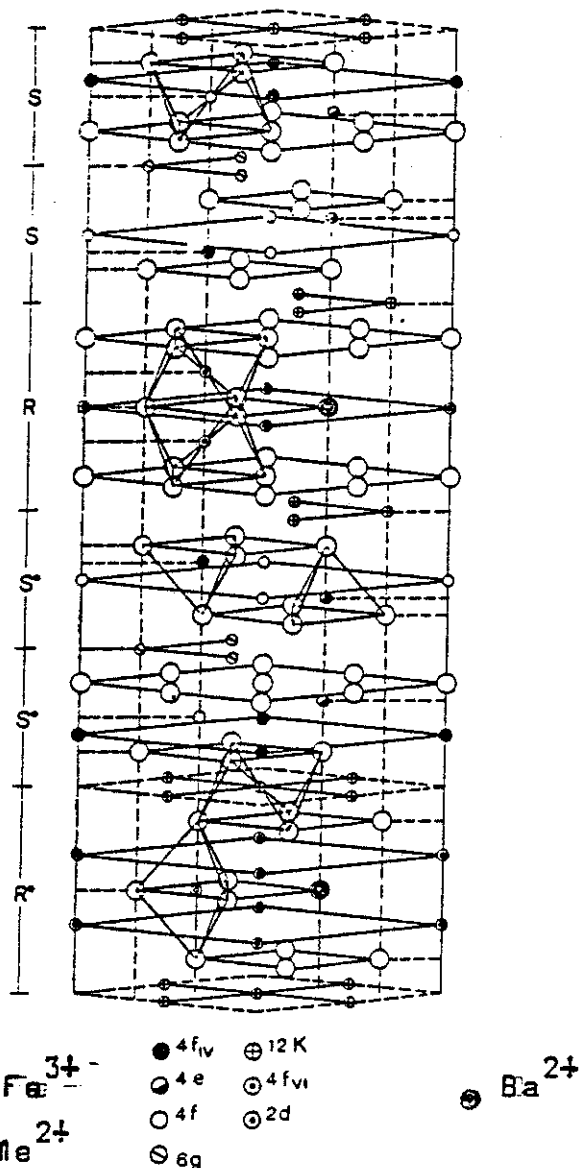
|  |     |  |                          |      |                  |
|--|-----|--|--------------------------|------|------------------|
| $\text{BaFe}_4\text{Mn}_2\text{O}_{11}$                        | R   | $\text{R}^x\text{R}$                                   | $\text{P}6_3/\text{mmc}$ | 6    | (11)(12)         |
| $\text{BaFe}_{12}\text{O}_{19}$                                | M   | $\text{RSR}^x\text{S}^x$                               | $\text{P}6_3/\text{mmc}$ | 10   | (13)(14)(15)(16) |
| $\text{BaMn}_2\text{Fe}_{16}\text{O}_{17}$                     | W   | $\text{RS}_2\text{R}^x\text{S}_2^x$                    | $\text{P}6_3/\text{mmc}$ | 14   | (13)             |
| $\text{BaMn}_2\text{Fe}_{28}\text{O}_{46}$                     | X   | $(\text{RSR}^x\text{S}_2^x)_3$                         | $\overline{\text{R}3m}$  | 12x3 | (13)             |
| $\text{Ba}_2\text{Mn}_2\text{Fe}_{12}\text{O}_{22}$            | Y   | $(\text{TS})_3$  | $\overline{\text{R}3m}$  | 6x3  | (13)             |
| $\text{Ba}_3\text{Mn}_2\text{Fe}_{24}\text{O}_{41}$            | Z   | $\text{RSTS}\text{R}^x\text{S}^x\text{T}^x\text{S}^x$  | $\text{P}6_3/\text{mmc}$ | 22   | (13)             |
| $\text{Ba}_4\text{Mn}_2\text{Fe}_{36}\text{O}_{60}$            | U   | $(\text{RSR}^x\text{S}^x\text{T}^x\text{S}^x)_3$       | $\overline{\text{R}3m}$  | 16x3 | (17)             |
| $\text{BaSn}_{0.9}\text{Fe}_{5.47}\text{O}_{11}$               | K   | RS   | $\text{P}6_3/\text{mmc}$ | -    | (5)              |
| $\text{Ba}_2\text{Sn}_2\text{MnFe}_{10}\text{O}_{22}$          |     |  |                          |      |                  |
| $\text{Ba}_5\text{Ti}_3\text{Zn}_2\text{Fe}_{10}\text{O}_{31}$ | (-) | $\text{S}_2(\text{HBT})_5\text{S}_2^x(\text{HBT})_5^x$ | $\text{P}6_3/\text{mmc}$ | 18   | (6)              |
| $\text{BaSn}_{1.70}\text{Fe}_{2.75}\text{O}_{8.52}$            | (+) | -  | $\text{P}6_3/\text{mmc}$ | 14   | (5)              |

niques disponibles a cada estructura.

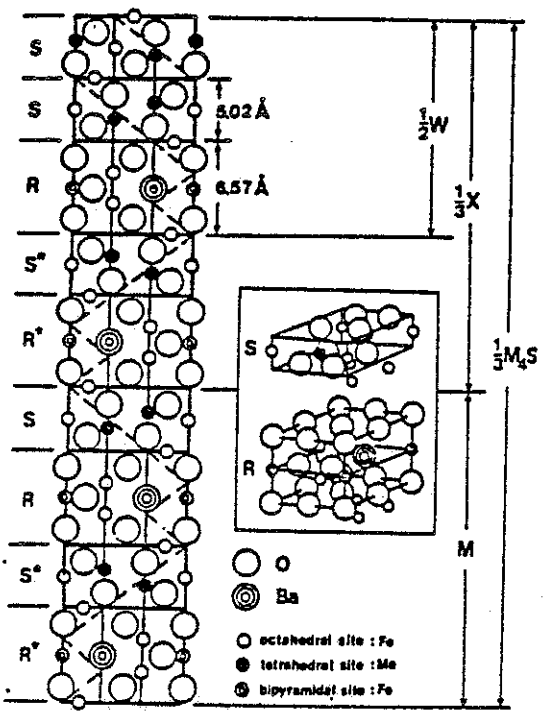
Cal citar que, quan s'ha observat amb microscòpia electrònica d'alta resolució les estructures en les línies de fase  $M - S$  i  $M - Y$ , s'ha constatat la presència de gran nombre d'estructures en forma d'intercreixements  $R - S_n$  en el primer cas (8,9) i  $M_{m1} - Y_n$  en el segon (10), encara que fins ara no s'han aïllat més ferrites hexagonals en forma de fase única.



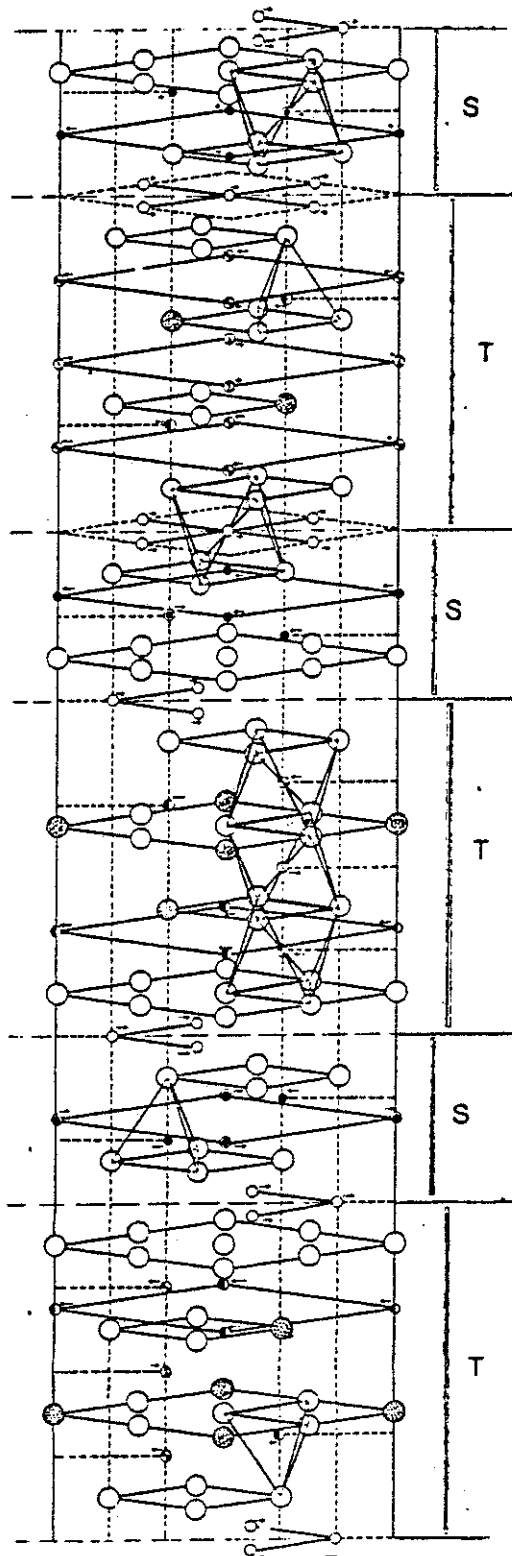
Contingut de la cel.la unitat de l'estructura M  
(distàncies no a escala)



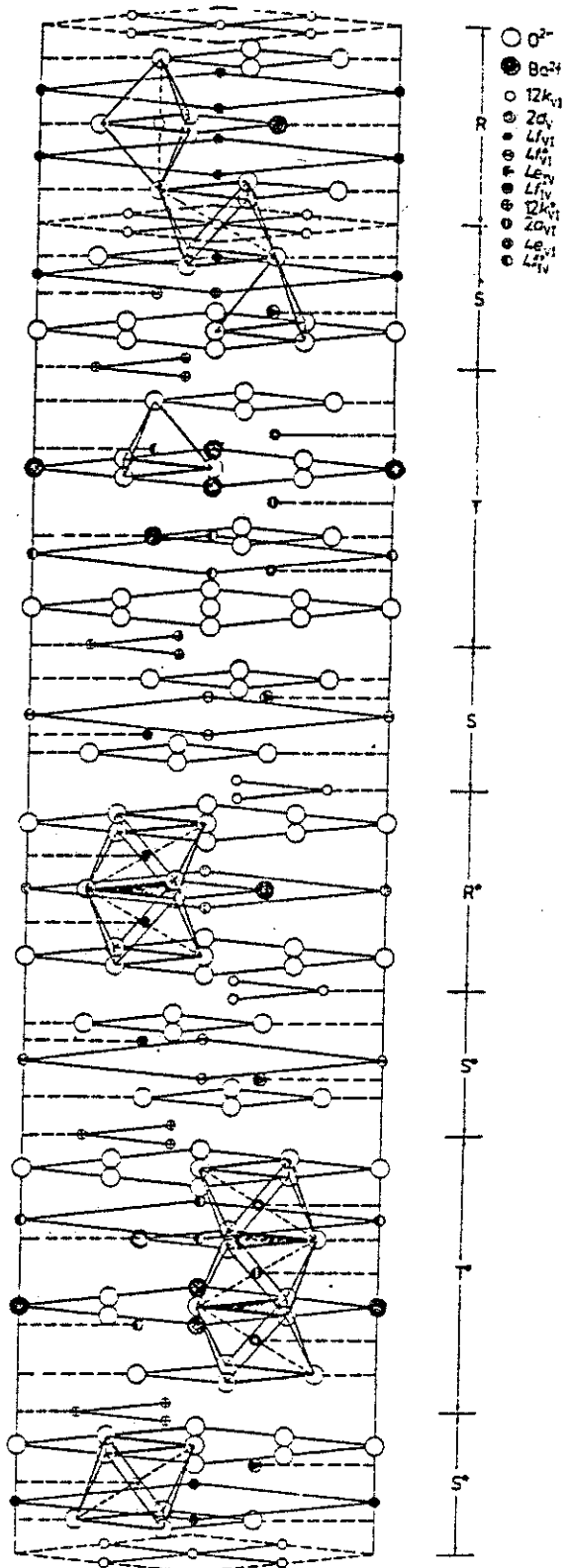
Contingut de la cel·la unitat de l'estrucció W



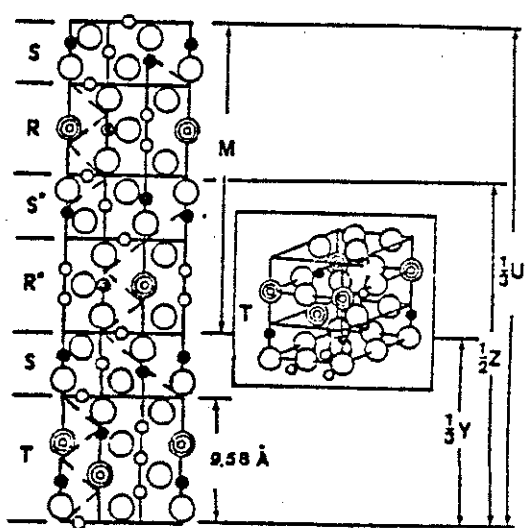
Relació esturctural entre alsuns elements que pertanyen  
a la línia de fase  $M - S$ .



Continuut de la cel.la unitat de l'estructura Y



Contingut de la cel.la unitat de l'estructura Z



Relació estructural entre alguns elements de la línia de fase M - Y.

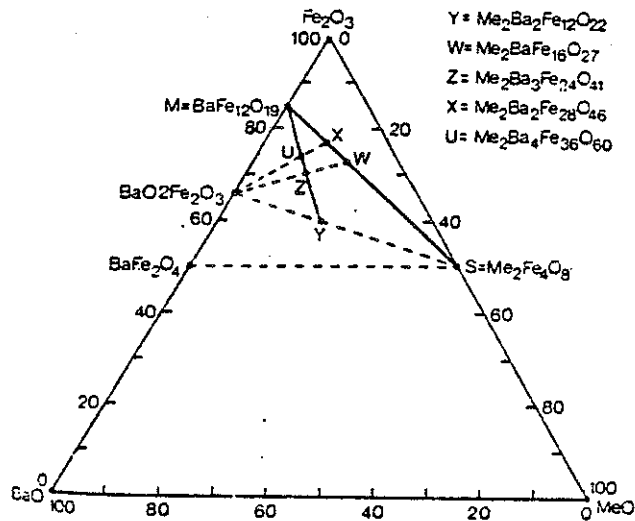
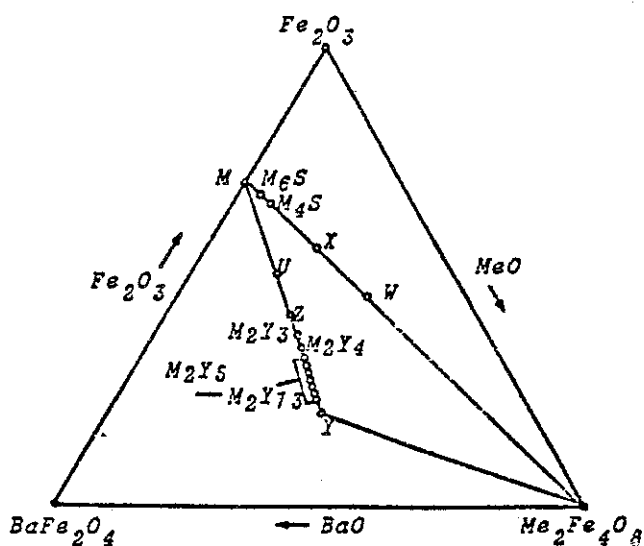


Diagrama de fases BaO - Fe<sub>2</sub>O<sub>3</sub> - MeO  
2 3



Detall del diagrama de fases BaO - Fe<sub>2</sub>O<sub>3</sub> - MeO  
2 3

Posicions cristal·logràfiques dels cations metàlics.

La notació utilitzada es la de les Taules Internacionals de Cristal·lografia pel grup espacial P<sub>6</sub> /mmc, i la descripció de l'estructura es la de Wyckoff (15).

#### Estructura M

| Posició cristal·logràfica | Coordinació | Bloc | Ions/f.u. |
|---------------------------|-------------|------|-----------|
| 12 k                      | Octaèdrica  | R-S  | 6         |
| 4 f (4f)<br>iv 1          | Tetraèdrica | S    | 2         |
| 4 f (4f)<br>vi 2          | Octaèdrica  | R    | 2         |
| 2 a                       | Octaèdrica  | S    | 1         |
| 2 b                       | Bipiramidal | R    | 1         |

La posició 2 b es considerada per alguns autors com 4 e amb ocupació 1/2, resultant pseudotetraèdrica (145).

#### Estructura W

| Posició Cristal·logràfica | Coordinació | Bloc | Ions/f.u. |
|---------------------------|-------------|------|-----------|
| 12 k                      | Octaèdrica  | R-S  | 6         |
| 4 e                       | Tetraèdrica | S    | 2         |
| 4 f<br>iv                 | Tetraèdrica | S    | 2         |
| 4 f<br>vi                 | Octaèdrica  | R    | 2         |
| 6 s                       | Octaèdrica  | S-S  | 2         |
| 2 d                       | Bipiramidal | R    | 1         |

Estructura Y

| Posició Cristal·logràfica | Coordinació | Bloc | Ions/f.u. |
|---------------------------|-------------|------|-----------|
| 6 c<br>iv                 | Tetraèdrica | S    | 2         |
| 3 a<br>vi                 | Octaèdrica  | S    | 1         |
| 18 h<br>vi                | Octaèdrica  | S-T  | 6         |
| 6 c<br>vi                 | Octaèdrica  | T    | 2         |
| 6 c<br>iv                 | Tetraèdrica | T    | 2         |
| 3 b                       | Octaèdrica  | T    | 1         |

Estructura Z

| Posició Cristal·logràfica | Coordinació | Bloc | Ions/f.u. |
|---------------------------|-------------|------|-----------|
| 12 k                      | Octaèdrica  | R-S  | 6         |
| 2 d                       | Bipiramidal | R    | 1         |
| 4 f<br>vi                 | Octaèdrica  | R    | 2         |
| 4 f<br>vi                 | Octaèdrica  | S    | 2         |
| 4 e<br>iv                 | Tetraèdrica | S    | 2         |
| 4 f<br>iv                 | Tetraèdrica | S    | 2         |
| 12 k                      | Octaèdrica  | T-S  | 6         |
| 2 a                       | Octaèdrica  | T    | 1         |
| 4 e<br>vi                 | Octaèdrica  | T    | 2         |
| 4 f<br>iv                 | Tetraèdrica | T    | 2         |

#### 1.4.- Propietats magnètiques i estructura

Presentem aquí un petit resum dels resultats generals d'estudis de propietats magnètiques i la seva interpretació estructural.

Sobre aquest tema existeixen unes quantes revisions parcials, que, tot i que cap d'ells arriba a una cobertura completa de la diversitat de fensmens i resultats existents, són altament valiosos i interessants de consultar (16, 17, 18).

#### 1.4.1.- Moment magnètic

El primer assaig d'establir un model d'estructura magnètica pels òxids de les fases M, W, Y i Z, que expliqués els valors mesurats de la magnetització de les mostres, va ésser realitzat per E. W. Gorter (19), en base a la teoria de l'interacció de superintercanvi, proposada per Kramers (20) i desenvolupada per Anderson (21).

En el model de Gorter es considera una estructura col·linial dels spins de les diferents subxarxes a baixa temperatura. Amb aquest model es pot calcular la magnetització a saturació, i els valors que s'obtenen són, gairebé sempre, molt propers als experimentals.

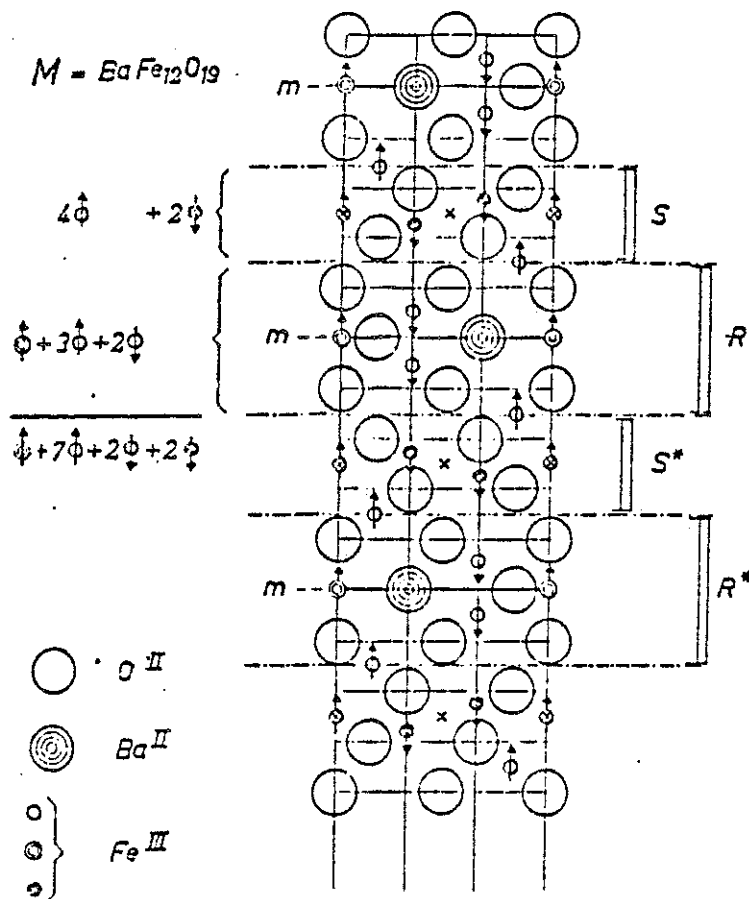
A les figures de les pàgines següents es presenten les configuracions dels spins segons Gorter, en secció segons el pla (110), on els eixos  $\bar{6}$  són rectes verticals, i els plànols de simetria perpendiculars a l'eix c porten la lletra m. Detallarem més

l'estructura M donada la seva importància històrica i comercial i que en aquesta memòria apareixerà freqüentment.

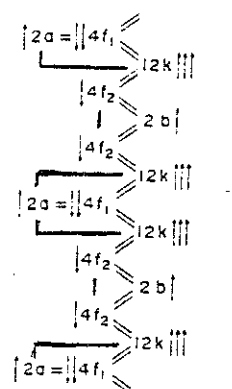
El model de Gorter de configuració colinial dels spins ha estat adoptat de forma gairebé indiscretible, després de l'èxit en la predicció de les magnetitzacions a saturació, encara que hi ha hagut pocs intents de verificar-lo de forma rigurosa.

Referint-nos a l'estructura M, la més estudiada degut a l'interès tecnològic i el que suposa l'utilització en gran escala per a imans permanents i dispositius de microones, s'ha intentat verificar l'estructura magnètica amb la ressonància magnètica nuclear (51) i, recentment, amb resultat satisfactori, l'afinament riguros de diagrames de difració neutrònica (52).

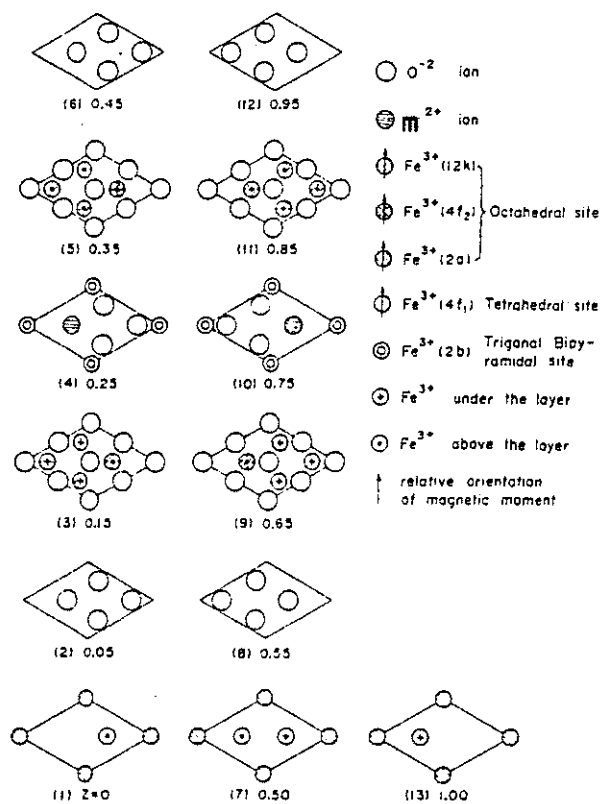
En línies generals, i com a resum, podriem dir que les ferrites hexagonals que sols contenen blocs R i S, presenten els spins orientats paralelament a



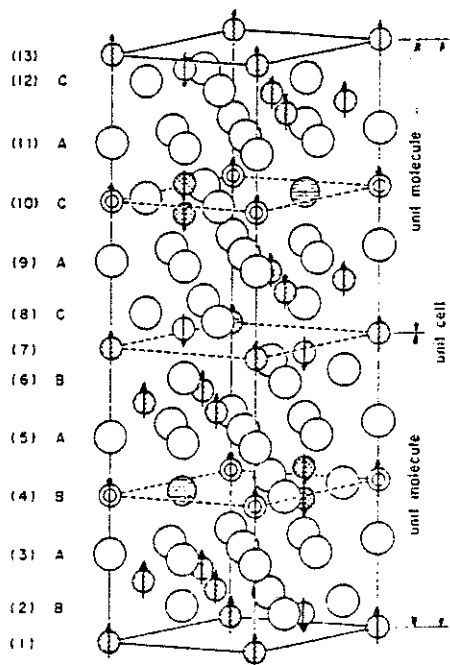
Disposició relativa dels spins a l'estructura M segons el model de Gorter. Secció per 110.



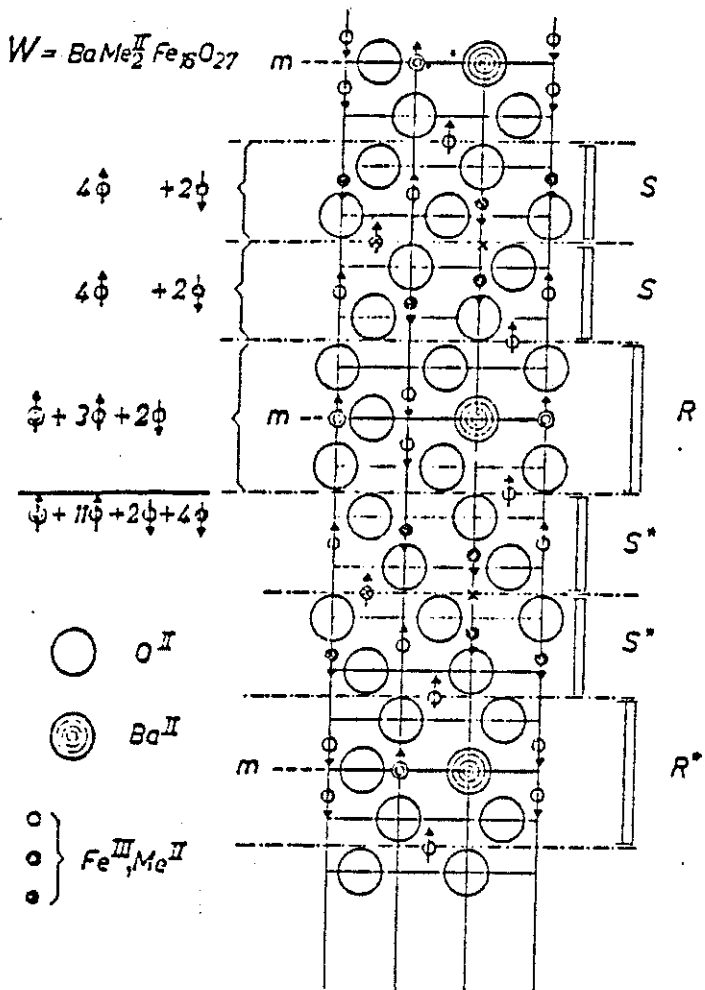
Esquema de les interaccions d'intercanvi a l'estructura M.



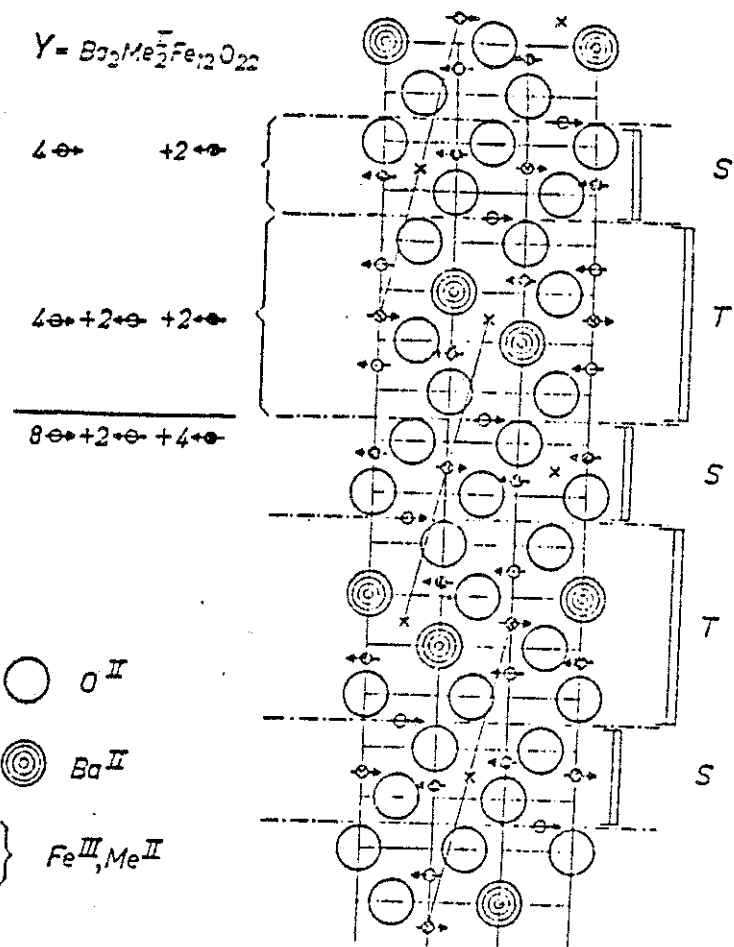
Desmembrament per capes de l'estructura  $M$ , amb l'orientació relativa dels spins. La numeració per capes correspon amb la de la representació en perspectiva de la següent figura.



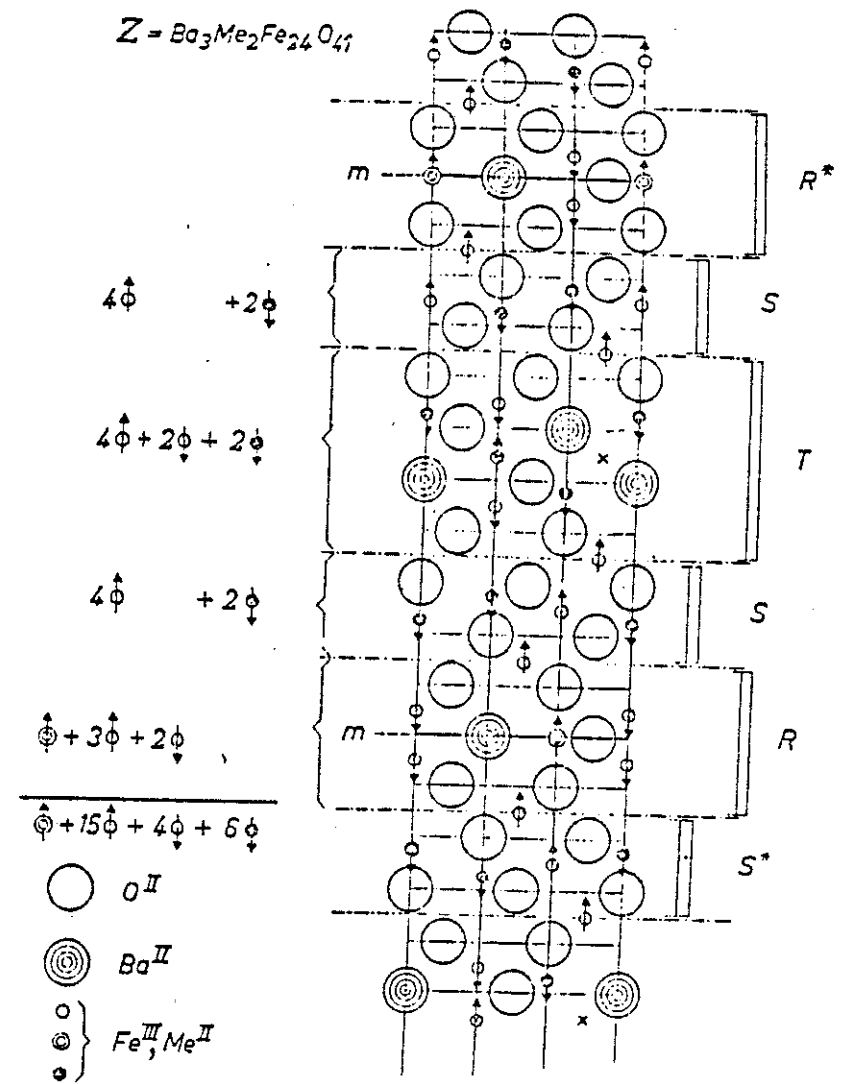
Perspectiva de l'estructura M amb l'orientació  
relativa dels spins segons el model de Gorter.  
La numeració per capes correspon amb la de la  
figura anterior.



Disposició relativa dels spins a l'estructura  
W, segons el model de Gorter. Secció per LLO.



Disposició relativa dels spins a l'estructura  
 $\gamma$  (planar), segons el model de Gorter.



Disposició relativa dels spins a l'estructura  
 $Z$ , segons el model de Gorter.

l'eix c (uniaxials), mentre que en les que contenen el bloc T hi ha tendència a orientar-se els spins perpendiculars a l'eix c (planars). Això ha estat atribuit, historicament, a la presència en el bloc R de un lloc bipiramidal, el que seria responsable de l'elevada anisotropia de les ferrites hexagonals uniaxials, com mencionarem quan tractem l'anisotropia.

Tot i que el model de Gorter sembla correcte com primera aproximació a l'estructura magnètica d'aquests òxids, les estructures magnètiques no colineals són freqüents entre les ferrites hexagonals, en especial quan es fan certes substitucions que alteren selectivament les interaccions magnètiques existents (ens referim a les interaccions de superintercanvi que donen lloc a l'ordenament magnètic).

Per exemple, al substituir  $\text{Fe}^{3+}$  de  $\text{Ba Fe}_{12} \text{O}_{19}$  amb  $\text{In}^{3+}$ , els productes  $\text{Ba Fe}_{12-x} \text{In}_x \text{O}_{19}$  presenten una estructura magnètica cantejada a blocs (22, 23); al substituir  $\text{Fe}^{3+}$  amb  $\text{Sc}^{3+}$  a  $\text{Ba Fe}_{12} \text{O}_{19}$  si a  $\text{Ni}_2 - \text{W}$ ,

L'estructura magnètica resultant, trobada amb difració de neutrons, es una configuració d'espiral cònica a blocs (24, 25, 26).

També s'han trobat configuracions no colinials de spins amb difracció de neutrons a  $\text{Ba Fe}_{12} \text{O}_{19}$  irradiat fortament amb neutrons de forma que es desplacen alguns  $\text{Fe}^{3+}$  (27).

Ademés, en alguns casos en que part del Ba es substitueix amb un altre catió com el Sr, afectant als paràmetres de l'estructura i a la distribució cationica, es produeixen també estructures magnètiques no colinials; per exemple, a l'estructura Y, els òxids  $\text{Ba}_{2-x} \text{Sr}_x \text{Ti}_2 \text{Fe}_{12} \text{O}_{22}$ , la configuració dels spins es de tipus helicoidal a blocs, amb el període de l'hèlix commensurable amb la xarxa (28). La sèrie  $\text{Ba}_{3-x} \text{Sr}_x \text{Ti}_2 \text{Fe}_{24} \text{O}_{41}$ , d'estructura Z, presenta també una estructura magnètica no colinal a blocs (29).

Aquests casos tenen com a característica comú l'establiment d'un ordre magnètic a blocs; és a dir,

la configuració es colinial segons el model de Gorter en quan a l'orientació relativa dels spins dins d'un bloc, però, en l'àmbit d'algunes capes d'anions la colinialitat no es manté i s'obtenen blocs ferrimagnètics que formen entre si configuracions no colinials.

Aquests fènomenes semblen ésser produïts (30) per la disminució del nombre d'interaccions entre spins, el que fa baixar, en conjunt, l'interacció magnètica de superintercanvi. Segons el nostre punt de vista, les estructures obtingudes indicen la força d'algunes de les interaccions, suficients per a mantenir els blocs colinials, i indiquen o bé la feblesa d'altres interaccions, o bé l'existència d'interaccions competitives considerables, al trencar-se la colinialitat en certs punts.

L'anàlisi teòric de l'estabilitat d'aquestes estructures magnètiques i les reorientacions que es presenten es complex, doncs a més a més del nombre relativament elevat de subxarxes que hi participen, en el Hamiltonià hi ha que incloure un terme d'inte-

racció d'intercanvi antisimètric (Hamiltoniana de Dzialoshinskii-Moriya -  $\bar{D} \cdot (\bar{S}_1 \times \bar{S}_2)$ , (31), que sembla existir entre algunes subxarxes de les estructures de les ferrites hexagonals), a més a més de l'interacció d'intercanvi simètrica i termes per a tenir present l'energia d'anisotropia magnetocrystal·lina.

Voldriem senyalar finalment que, per alguns productes com  $Zn_2-W$ ,  $Zn_2-Y$  i fase M amb Cr<sup>3+</sup> substituint al Fe<sup>3+</sup>, ha estat proposat un model d'inversió local dels spins (32, 33, 34, 35) per a justificar una magnetització massa petita d'acord amb l'esperada amb el model colinial de Gorter; Per a nosaltres no esta clara la causa d'aquest grau d'inversió local dels spins, en lloc d'una evolució passant per una situació de canting.

#### 1.4.2.- Anisotropia magnètica

Entre les propietats magnètiques de les ferrites hexagonals, una de les més interessants es l'ellevada anisotropia magnètica.

Per a un producte qualsevol, l'anisotropia magnètica, apart els efectes de forma, es causada per:

- Interacció dipolar dels moments magnètics
- Anisotropia d'un(s) ió(ns)
- Anisotropia de l'interacció d'intercanvi dels spins.

Per a les estructures M (uniaxial) i V (planar), la contribució del terme dipolar ha estat calculat a (36) i a (43). Per a l'estructura M, tot i que els dos autors discrepen en el resultat (i sobre això tornarem en el capítol 2 d'aquesta memòria), sembla clar que cal considerar un altre mecanisme com a responsable d'una part important de l'anisotropia.

Ara bé, per a l'estructura Y planar els valors calculats, coincidents ambdos autors, som molt propers als mesurats, el que sembla indicar que l'anisotropia magnètocristal·lina d'alguns productes planars té com origen fundamental l'interacció dipolar clàssica entre moments magnètics.

Segons (43), per l'estructura W es compleix el mateix que per la M: una part important de l'anisotropia ha de tenir un origen diferent de l'interacció dipolar.

Donat que la més important diferència estructural entre les ferrites hexagonals uniaxials i les planars és la presència a les primeres i no a les segones de la posició catiònica amb coordinació bipiramidal, des dels primers estudis s'ha responsabilitzat als cations  $Fe^{3+}$  d'aquesta subxarxa de la gran anisotropia uniaxial de les fases M<sub>1</sub>(36), W i X. La singularitat d'aquesta posició fa raonable l'importància de l'anisotropia d'aquest íd.

Amb la finalitat de provar l'importància de la contribució a l'anisotropia dels cations Fe de la subxarxa bipiramidal, Fuchikami (37) va realitzar un anàlisi teòric del hamiltonia de spin d'aquests Fe. El seu estudi suggereix que, tot i que la contribució a l'anisotropia magnètica per part del Fe de la subxarxa bipiramidal es important, la contribució dels cations d'altres subxarxes podria ésser també considerable.

Un anàlisi posterior de la dependència en temperatura de la constant d'anisotropia K, segons la teoria de Callen i Callen (38), mostra que la contribució a la dependència en temperatura de l'anisotropia magnètica a  $\text{BaFe}_{12}\text{O}_{19}$  ve tant de la subxarxa bipiramidal com de la subxarxa octaèdrica 12k (39).

Tot i amb això, el problema de l'origen de l'anisotropia magnètica no pot considerar-se resolt per ara.

Hi ha un nombre considerable d'estudis on es determina i analitza la contribució a l'anisotropia magnètica d'alguns cations en posicions particulars.

Així, un catió que té una influència molt considerable en les propietats magnètiques de les ferrites hexagonals és el  $\text{Co}^{2+}$ . Aquest catió ocupa normalment posicions octaèdriques, i presenta un bloqueig incomplert del moment magnètic orbital, el que provoca una contribució important al terme d'ordre quatre del desenvolupament de l'energia d'anisotropia en sinus ( $K_2$ ). Es aquest efecte el que dona, en alguns productes, un augment considerable de l'anisotropia magnètica (40).

A  $\text{Co}_2\text{-Z}$  s'observen tres fases magnètiques diferents en funció de la temperatura: Cònica, planar i uniaxial (41), segons sembla a causa de diferents variacions amb la temperatura de la contribució del  $\text{Co}^{2+}$  i la resta.

L'anàlisi teòric del paper que juga el catió

$\text{Co}^{2+}$  en les propietats magnètiques de les ferrites hexagonals ha estat realitzat a (40), segons la teoria de Slomczenski (42) i per Asti i Rinaldi (39), segons la teoria de Callen i Callen (38).

Un comportament aparentment invers al del catió  $\text{Co}^{2+}$  es el que mostra el catió  $\text{Cu}^{2+}$  a les ferrites hexagonals  $\text{Zn}_2\text{-Y}$  i  $\text{Cd}_2\text{-Y}$  (44, 45, 46), on hi ha una reorientació dels spins a baixa temperatura. Aquests productes són uniaxials a baixa temperatura, i planars a alta temperatura, i segons sembla, mostren una estructura magnètica colinial en tots els domini de temperatures.

S'ha senyalat també l'influència dels cations  $\text{Fe}^{2+}$ , que poden donar una considerable contribució positiva a la constant d'anisotropia magnetocristal·lina, i del catió terra rara  $\text{Ru}^{3+}$  (47, 48, 49).

Per altre costat, diverses substitucions, com per exemple la introducció de Mn en lloc de Fe a  $\text{BaFe}_{12}\text{O}_{19}$ , no semblen alterar significativament l'anisotropia magnetocristal·lina (50).

### 1.5.- References

- (1) J. Smit, J.P. Wijn, "Ferrites", Philips Techn. Library, Eindhoven (1960)
- (2) R. D. Shannon, C. T. Prewitt, *Acta Cryst.* B25, 925 (1969)
- (3) K. Kato, Naturwissenschaften (Germany), 54, 20, 536 (1967)
- (4) P. B. Braum, *Philips Res. Rep.* 12, 491 (1967)
- (5) M. C. Cadée, D. J. W. Ijdo, *J. Solid State Chem.* 36, 314 (1981)
- (6) J. A. Kahn, D. W. Eckart, *Mat. Res. Bull.*, 6, 743 (1981)
- (7) R. W. G. Wyckoff, "Crystal Structures", vol. 2, p. 414, J. Wiley (1967)
- (8) E. Lucchini, G. Slökar, *J. Mag. Mag. Mat.* 8, 232 (1978)

- (9) E. Lucchini, G. Sirokai, J. Mag. Mag. Mat. 8,  
237 (1978)
- (10) Y. Hiratsu, H. Sato, Y. C. Tamg, S. Nagakura,  
Proc. Int. Conf. Ferrites, 345 (1980)
- F. J. M. Dem Broeder, J. Solid State Chem. 37,  
262 (1981)
- (11) V. F. Haberey, M. Velicescu, Acta Cryst. B30,  
1507 (1974)
- (12) X. Obradors, A. Collomb, J. Pannetier, A. Isalgue,  
J. Tejada, J.C. Joubert, Mat. Res. Bull. 18,  
1543 (1983)
- (13) V. Adelösköld, Ark. Kemi. Min. Geol. 12A,  
n. 29 (1938)
- (14) W. D. Townes, J. H. Fang, A. S. Perrottæ,  
Z. für Krist. 125, 437 (1967)

(15) R. W. G. Wyckoff "Cristal Structures" vol. 3  
p. 497 ( J. Wiley, 1965)

(16) G. Albanese J. de Physique 38, C1 - 85  
(1977)

(17) G. Asti IEEE Trans on Magn. 17, 2630 (1981)

(18) H. Kojima - Ferromagnetic Materials, vol. 3,  
cap. 5 Ed. E. P. Wohlfarth ( North - Holland  
1982)

(19) E. W. Gorter Proc. IEEE 104 8 , 255 (1957)

(20) H. A. Kramers Physica 1, 182 (1934)

(21) P. W. Anderson Phys Rev. 76, 350, 705 (1950)

(22) M. I. Namtahshvili, O. P. Aleshko-Ozhevskii,  
I. I. Yamzin Sov. Phys.-Solid State 13, 2137  
(1972)

(23) G. Albanese, A. Deriu, E. Lucchini, G. Slökar  
Appl. Phys. A26, 45, (1981)

(24) O.P. Aleshko-Ozhevskii, I. I. Yamzin, Sov.  
Phys. JETP 29, 655 (1969)

(25) R. A. Sizov, K. N. Zaitsev Sov. Phys. JETP  
39, 175 (1974)

(26) Y. G. Chukalkii, V. V. Petrov, B. N. Gashchitskii  
Phys. Stat. Sol. (a), 67, 421 (1981)

(27) V. A. Sizov, R. A. Sizov, I. I. Yamzin Sov.  
Phys. JETP 26, 736 (1968)

(28) M. I. Namtalishvili, O. P. Aleshko-Ozhevskii,  
I. I. Yamzin Sov. Phys. JETP 35, 370 (1972)

(29) L. I. Kovaleva, L. P. Mitina Sov. Phys.-Solid  
State 13, 526 (1971)

- (30) L. I. Kovaleva, L. P. Mitina Phys. Stat. Sol.  
(a), 5, K55 (1971)
- (31) T. Moriya Phys. Rev. 120, 91 (1960)
- (32) E. F. Bertaut, A. Deschamps, R. Pauthenet, S.  
Pickart J. Physique 20, 404 (1959)
- (33) G. Albanese, G. Asti, M. Carbucicchio,  
Appl. Phys. 11, 81 (1976)
- (34) R. Slowak, C. Voigt, K. A. Hempel, A. Kyprianis  
Appl. Phys. 14, 325 (1977)
- (35) A. Deriu, F. Licci, S. Rinaldi, T. Besagni,  
J. Mag. Mag. Mat. 22, 257 (1981)
- (36) H. B. G. Casimir, J. Smit, V. Enz, J. F. Fast,  
H. P. S. Wijn, E. W. Gorter, A. J. W. Duyvesteyn  
J. D. Fast, J. J. De Jongh J. De Physique et  
le Radium, 20, 360 (1959)

- (37) N. Fuchikami, J. Phys. Soc. Japan, 20, 760  
(1965)
- (38) H. B. Callen, E. Callen J. Phys. Chem. Solids  
27, 1271 (1966)
- (39) G. Asti, S. Rinaldi AIP Conf. Proc. 34, 214  
(1977)
- (40) F. K. Lotgering, V. Enz, J. Smit Philips Tech.  
Reps. 16, 441 (1961)
- (41) G. Albanese, A. Deriu, S. Rinaldi, J. Physics-  
C-Solid State 9, 1312 (1976)
- (42) J. C. Slavczewski Phys. Rev. 110, 1341 (1958)
- (43) F. K. Lotgering et al. J. Phys. Chem. Solids  
41, 481 (1980)
- (44) G. Albanese, A. Deriu, F. Licci, S. Rinaldi  
IEEE Trans on Magn. 14, 710 (1978)

- (45) A. Dariu, F. Licci, S. Rinaldi, T. Besagni  
J. Mag. Mag. Mat. 15-18, 1445 (1980)
- (46) A. Dariu, F. Licci, S. Rinaldi, T. Besagni  
J. Mag. Mag. Mat. 22, 257 (1981)
- (47) J. Liu, M. Lu, T. Jing, Z. Wang, H. Zhai  
Proc. Int. Conf. Ferrites, 350 (1980)
- (48) H. R. Zhai, J.Z. Liu, M. Lu J. Appl. Phys.  
52, 2323 (1981)
- (49) F.K. Lötgering J. Phys. Chem. Solids,  
35, 1633 (1974)
- (50) X. Obradors, A. Isalgue, M. Pernet, A. Collomb,  
J. Tejada, JC. Jaubert per apresixer
- (51) R. L. Streever Phys. Rev. 186, 2, 285 (1969)  
K. Hareyama, K. Kohn, K. Uematsu  
J. Phys. Soc. Japan 29, 791 (1970)
- (52) A. Collomb, comunicació privada